

# ACI Sécurité et Informatique

## Projet APRON

---

# APRON et le domaine des octogones

---

**Antoine Miné**

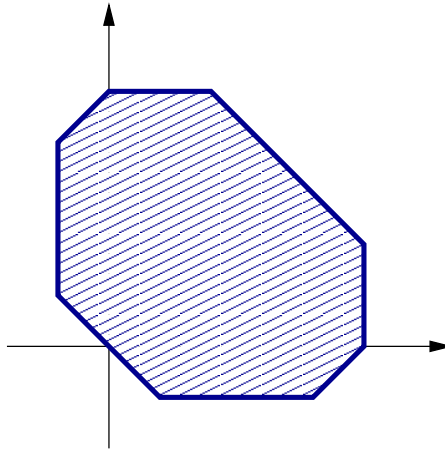
École Normale Supérieure

8 novembre 2006

# Introduction

Le domaine des **octogones** cherche des invariants de la forme

$$\pm V_i \pm V_j \leq c.$$



- ◆ **Précision intermédiaire** entre les intervalles et les polyèdres.
  - Abstraction précise des tests courants.
  - Capable d'inférer des propriétés **relationnelles**.
- ◆ **Coût intermédiaire** entre les intervalles (linéaires) et les polyèdres (exponentiel):
  - représentation quadratique en mémoire,
  - coût cubique en temps (au pire).
- ◆ Implantation possible en nombre flottants (coût réduit au détriment de la précision).

# Exemple d'utilisation des octogones

---

## Exemple 1: (limiteur de vitesse)

```
Y=0;
while (?) {
  X=rand(-128,128); D=rand(0,16);
  S=Y; Y=X; R=X-S;
  if (R<=-D) Y=S-D;
  if (R>=D) Y=S+D;
}
```

X: signal d'entrée  
Y: signal de sortie  
S: sortie précédente  
R: dérivée  $Y-S$   
D: maximum autorisé pour  $|R|$

- ◆ Les intervalles sont impuissants à montrer que  $|Y|$  est borné.
- ◆ Les polyèdres trouvent  $|Y| \leq 128$ .
- ◆ Les octogones trouvent  $|Y| \leq 144$ .

# Exemple d'utilisation des octogones

---

**Exemple 2:** (invariant de boucle)

```
X=0; I=1;
while ● (I<5) {
  if (?) X=X+1; else X=X-1;
  I=I+1;
} ◆
```

- Les intervalles ne trouvent aucune information sur  $X$  en ◆.
- Les octogones et les polyèdres trouvent  $X \in [-4, 4]$ .

Pour trouver un invariant précis à la sortie d'une boucle ◆,  
il faut trouver un invariant de boucle ● de forme plus complexe, **relationnel**:

$$\begin{cases} -I < X < I, \\ I \in [1, 5]. \end{cases}$$

# Différences bornées

---

On s'intéresse tout d'abord aux **contraintes de potentiel**:

$$V_i - V_j \leq c, \quad c \in \mathbb{I}, V_i \in \mathcal{V}$$

- $\mathbb{I} = \mathbb{Q}$  ou  $\mathbb{I} = \mathbb{R}$ ,
- $\mathcal{V}$  est ensemble fini de  $n$  variables.

Une conjonction de contraintes de potentiel est représentée par une **matrice de différences bornées (DBM)  $\mathbf{m}$** :

- $\mathbf{m}$  est carrée de taille  $n \times n$ , à valeur dans  $\mathbb{I} \cup \{+\infty\}$ ,
- si  $\mathbf{m}_{ij} < +\infty$ , c'est la borne supérieure de  $V_j - V_i$ ,
- si  $\mathbf{m}_{ij} = +\infty$ ,  $V_j - V_i$  n'est pas borné,
- $\mathbf{m}$  représente l'ensemble de points:

$$\gamma^{\text{DB}}(\mathbf{m}) \stackrel{\text{def}}{=} \{ \vec{x} \in \mathbb{I}^n \mid \forall i, j, x_j - x_i \leq \mathbf{m}_{ij} \}.$$

# Graphe de potentiel

$\mathbf{m}$  peut être vu comme la matrice d'adjacence d'un **graphe de potentiel**.

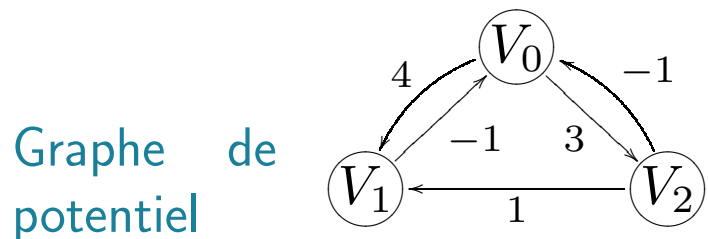
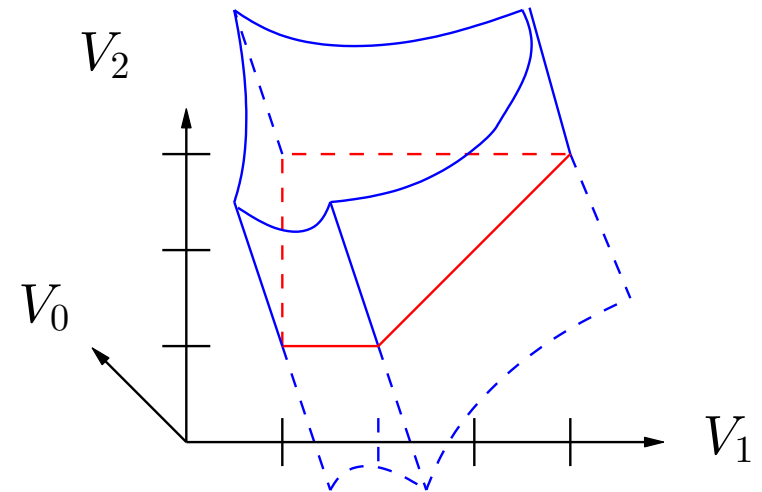
- graphe orienté, de nœuds  $\mathcal{V}$ ,
- si  $\mathbf{m}_{ij} < +\infty$ , il y a une arête de poids  $\mathbf{m}$  de  $V_i$  à  $V_j$ .

## Exemple

Ensemble de contraintes

$$\begin{cases} V_1 - V_0 \leq 4 \\ V_0 - V_1 \leq -1 \\ V_2 - V_0 \leq 3 \\ V_0 - V_2 \leq -1 \\ V_1 - V_2 \leq 1 \end{cases}$$

Domaine  $\gamma^{\text{DB}}(\mathbf{m})$



Difference-Bound Matrix  $\mathbf{m}$

	$V_0$	$V_1$	$V_2$
$V_0$	$+\infty$	4	3
$V_1$	-1	$+\infty$	$+\infty$
$V_2$	-1	1	$+\infty$

# Contraintes d'octogones

Soit  $\mathcal{V} = \{V_0, \dots, V_{n-1}\}$  un ensemble de variables.

On note  $\mathcal{V}'$  l'ensemble  $\mathcal{V}' \stackrel{\text{def}}{=} \{V'_0, \dots, V'_{2n-1}\}$ .

Une contrainte  $\pm V_j \pm V_i \leq c$  sur  $\mathcal{V}$  est représentée par une **contrainte de potentiel** sur  $\mathcal{V}'$ :

$$\begin{aligned} V'_{2i} & \text{ représente } +V_i \\ V'_{2i+1} & \text{ représente } -V_i \end{aligned}$$

La contrainte	est représentée par
$V_i - V_j \leq c \quad (i \neq j)$	$V'_{2i} - V'_{2j} \leq c$ and $V'_{2j+1} - V'_{2i+1} \leq c$
$V_i + V_j \leq c \quad (i \neq j)$	$V'_{2i} - V'_{2j+1} \leq c$ and $V'_{2j} - V'_{2i+1} \leq c$
$-V_i - V_j \leq c \quad (i \neq j)$	$V'_{2i+1} - V'_{2j} \leq c$ and $V'_{2j+1} - V'_{2i} \leq c$
$V_i \leq c$	$V'_{2i} - V'_{2i+1} \leq 2c$
$V_i \geq c$	$V'_{2i+1} - V'_{2i} \leq -2c$

# Représentation des octogones

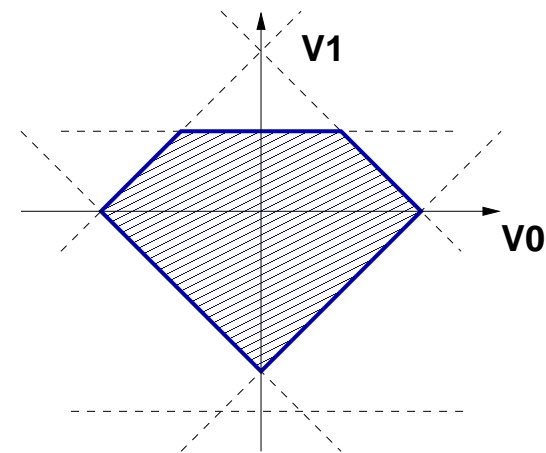
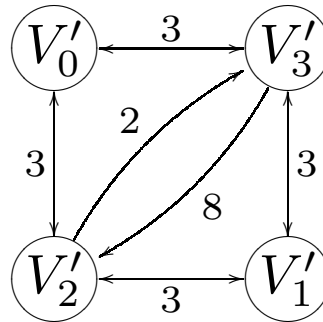
Un octogone peut ainsi être représenté par une DBM de taille  $2n \times 2n$ .

$\mathbf{m}$  représente:

$$\gamma^{\text{Oct}}(\mathbf{m}) \stackrel{\text{def}}{=} \{ (x_0, \dots, x_{n-1}) \mid (x_0, -x_0, \dots, x_{n-1}, -x_{n-1}) \in \gamma^{\text{DB}}(\mathbf{m}) \}.$$

## Exemple

$$\left\{ \begin{array}{l} V_0 + V_1 \leq 3 \\ V_1 - V_0 \leq 3 \\ V_0 - V_1 \leq 3 \\ -V_0 - V_1 \leq -3 \\ 2V_1 \leq 2 \\ -2V_1 \leq 8 \end{array} \right.$$



Ensemble de contraintes

Graphe de potentiel

Domaine  $\gamma^{\text{Oct}}(\mathbf{m})$



# Représentation dans APRON

## Note:

Une contrainte binaire peut être représentée par 2 éléments.

- ⇒
- On impose:  $\mathbf{m}_{ij} = \mathbf{m}_{j\bar{i}}$ , où  $\bar{i} \stackrel{\text{def}}{=} i \text{ xor } 1$  ( $V'_{2i} \leftrightarrow V'_{2i+1}$ ,  $+V_i \leftrightarrow -V_i$ ).
  - On ne représente que les éléments  $\mathbf{m}_{ij}$  tels que  $j/2 \leq i/2$ .

		$j$				
	$\times$	$-2V_0$				
	$2V_0$	$\times$				
$i$	$V_0 - V_1$	$-V_0 - V_1$	$\times$	$-2V_1$		
	$V_0 + V_1$	$-V_0 + V_1$	$2V_1$	$\times$		
	$\vdots$	$\vdots$	$\vdots$	$\vdots$	$\dots$	
	$\dots$	$\dots$	$\dots$	$\dots$	$\dots$	$-2V_{n-1}$
	$\dots$	$\dots$	$\dots$	$\dots$	$2V_{n-1}$	$\times$

- La diagonale contient des informations sur  $V'_i - V'_i$  inutiles ( $\times$ ).
- $\mathbf{m}$  est représentée par un tableau **plat** de  $2n(n+1)$  éléments.
- Si  $j/2 \leq i/2$ ,  $\mathbf{m}_{ij}$  se trouve en  $j + \frac{(i+1)^2}{2}$  (indépendant de  $n$ ).

# Structure de treillis

- ◆ On étend point à point l'ordre  $\leq$  sur  $\mathbb{I} \cup \{+\infty\}$  sur les DBMs:

$$\begin{aligned} \mathbf{m} \sqsubseteq^{\#} \mathbf{n} &\stackrel{\text{def}}{\iff} \forall i, j, \mathbf{m}_{ij} \leq \mathbf{n}_{ij} \\ \mathbf{m} =^{\#} \mathbf{n} &\stackrel{\text{def}}{\iff} \forall i, j, \mathbf{m}_{ij} = \mathbf{n}_{ij} \\ [\mathbf{m} \sqcap^{\#} \mathbf{n}]_{ij} &\stackrel{\text{def}}{=} \min(\mathbf{m}_{ij}, \mathbf{n}_{ij}) \\ [\mathbf{m} \sqcup^{\#} \mathbf{n}]_{ij} &\stackrel{\text{def}}{=} \max(\mathbf{m}_{ij}, \mathbf{n}_{ij}) \\ [\top^{\#}]_{ij} &\stackrel{\text{def}}{=} +\infty \end{aligned}$$

- ◆ Le domaine abstrait  $D^{\#}$  contient toutes les DBMs, plus un plus petit élément  $\perp^{\#}$ .

## Propriétés:

- $(D^{\#}, \sqsubseteq^{\#}, \sqcup^{\#}, \sqcap^{\#}, \perp^{\#}, \top^{\#})$  est un **treillis**.
- $\gamma^{\text{DB}}$  et  $\gamma^{\text{Oct}}$  sont croissantes:

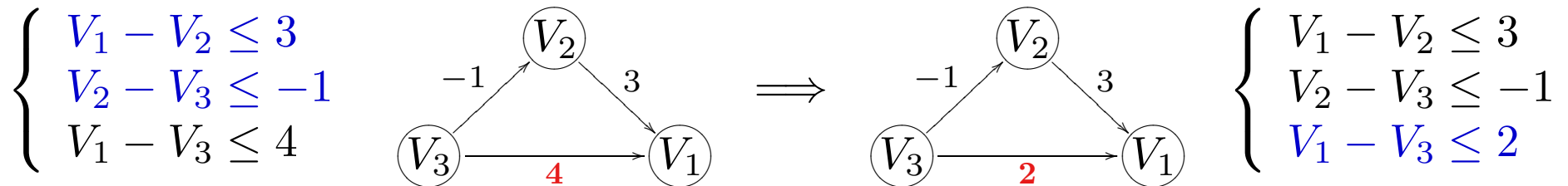
$$\begin{aligned} \mathbf{m} \sqsubseteq^{\#} \mathbf{n} &\implies \gamma^{\text{DB}}(\mathbf{m}) \subseteq \gamma^{\text{DB}}(\mathbf{n}) \\ \mathbf{m} \sqsubseteq^{\#} \mathbf{n} &\implies \gamma^{\text{Oct}}(\mathbf{m}) \subseteq \gamma^{\text{Oct}}(\mathbf{n}) \end{aligned}$$

# Forme normale pour $\gamma^{\text{DB}}$

On a:  $\gamma^{\text{DB}}(\mathbf{m}) = \gamma^{\text{DB}}(\mathbf{n}) \not\Rightarrow \mathbf{m} = \mathbf{n}$   
 $\gamma^{\text{Oct}}(\mathbf{m}) = \gamma^{\text{Oct}}(\mathbf{n}) \not\Rightarrow \mathbf{m} = \mathbf{n}$

**Solution** pour les contraintes de potentiel

Propager les contraintes sur des arcs adjacents par **addition de poids**:



**Forme normale** (si  $\gamma^{\text{DB}}(\mathbf{m}) \neq \emptyset$ )

Clôture par plus court chemin  $\mathbf{m}^*$ :  $\mathbf{m}_{ij}^* \stackrel{\text{def}}{=} \min_{\langle i=i_1, \dots, i_N=j \rangle} \sum_{k=1}^{N-1} \mathbf{m}_{i_k i_{k+1}}$ .

On a:  $\mathbf{m}^* = \min_{\sqsubseteq \#} \{ \mathbf{n} \mid \gamma^{\text{DB}}(\mathbf{m}) = \gamma^{\text{DB}}(\mathbf{n}) \}$ .

Implantation: algorithme de Floyd-Warshall, en  $\mathcal{O}(n^3)$ .

# Forme normale pour $\gamma^{\text{Oct}}$

$m^*$  ne donne pas une forme normale vis-à-vis de  $\gamma^{\text{Oct}}$ .

## Idée

Utiliser **deux** propagations locales:

$$\left\{ \begin{array}{l} V'_i - V'_k \leq c \\ V'_k - V'_j \leq d \end{array} \right. \implies V'_i - V'_j \leq c + d \quad \text{et} \quad \left\{ \begin{array}{l} V'_i - V'_j \leq c \\ V'_i - V'_j \leq d \end{array} \right. \implies V'_i \leq (c + d)/2$$

## Algorithme de Floyd-Warshall modifié

$m^\bullet$  est défini comme le résultat  $m^{n+1}$  de l'algorithme suivant:

$$\begin{array}{l} \text{(A)} \quad \left\{ \begin{array}{l} m^1 = m \\ m^{k+1} = S(C^{2k}(m^k)), \quad 1 \leq k \leq n \end{array} \right. \\ \text{(B)} \quad [S(\mathbf{n})]_{ij} = \min(\mathbf{n}_{ij}, (\mathbf{n}_{i\bar{i}} + \mathbf{n}_{\bar{j}j})/2) \end{array} \quad \text{(C)} \quad \left\{ \begin{array}{l} [C^k(\mathbf{n})]_{ij} = \min( \\ \quad \mathbf{n}_{ij}, \\ \quad \mathbf{n}_{ik} + \mathbf{n}_{kj}, \\ \quad \mathbf{n}_{i\bar{k}} + \mathbf{n}_{\bar{k}j}, \\ \quad \mathbf{n}_{ik} + \mathbf{n}_{k\bar{k}} + \mathbf{n}_{\bar{k}j}, \\ \quad \mathbf{n}_{i\bar{k}} + \mathbf{n}_{\bar{k}k} + \mathbf{n}_{kj} ) \end{array} \right.$$

# Forme normale pour $\gamma^{\text{Oct}}$ (suite)

## Propriétés de $\mathbf{m}^\bullet$ :

- $\gamma^{\text{Oct}}(\mathbf{m}) = \emptyset \iff \exists i, \mathbf{m}_{ii}^\bullet < 0$ .
- si  $\gamma^{\text{Oct}}(\mathbf{m}) \neq \emptyset$ ,  $\mathbf{m}^\bullet$  est une forme normale:  
$$\mathbf{m}^\bullet = \min_{\sqsubseteq^\#} \{ \mathbf{n} \mid \gamma^{\text{Oct}}(\mathbf{n}) = \gamma^{\text{Oct}}(\mathbf{m}) \}.$$
- $\gamma^{\text{Oct}}(\mathbf{m}) = \gamma^{\text{Oct}}(\mathbf{n}) \iff \mathbf{m}^\bullet =^\# \mathbf{n}^\bullet$ .  
 $\gamma^{\text{Oct}}(\mathbf{m}) \subseteq \gamma^{\text{Oct}}(\mathbf{n}) \iff \mathbf{m}^\bullet \sqsubseteq^\# \mathbf{n}^\bullet$ .
- $\mathbf{m}^\bullet$  a un coût **cubique**.  
Une version **incrémentale**, de coût **quadratique** existe.

## Octogones entiers

$\mathbf{m}^*$  est une forme normale sur  $\gamma^{\text{DB}}$  pour  $\mathbb{I} = \mathbb{Z}$ .

$\mathbf{m}^\bullet$  **n'est pas** une forme normale sur  $\gamma^{\text{Oct}}$  pour  $\mathbb{I} = \mathbb{Z}$ !

Une forme normale en  $\mathcal{O}(n^4)$  existe (non implantée).

# Opérateurs ensemblistes abstraits

---

## Intersection abstraite (exacte)

- $\sqcap^\#$  donne toujours l'intersection **exacte**:

$$\gamma^{\text{Oct}}(\mathbf{m} \sqcap^\# \mathbf{n}) = \gamma^{\text{Oct}}(\mathbf{m}) \cap \gamma^{\text{Oct}}(\mathbf{n}).$$

- $(\mathbf{m}^\bullet) \sqcap^\# (\mathbf{n}^\bullet)$  n'est généralement pas en forme normale.

## Union abstraite (optimale)

- Les octogones sont convexes, donc non clos pas union.

- $\sqcup^\#$  est toujours une abstraction valide de l'union:

$$\gamma^{\text{Oct}}(\mathbf{m} \sqcup^\# \mathbf{n}) \supseteq \gamma^{\text{Oct}}(\mathbf{m}) \cup \gamma^{\text{Oct}}(\mathbf{n}).$$

mais elle n'est pas toujours optimale...

- $(\mathbf{m}^\bullet) \sqcup^\# (\mathbf{n}^\bullet)$  est, par contre, **optimal**:

$$(\mathbf{m}^\bullet) \sqcup^\# (\mathbf{n}^\bullet) = \min_{\sqsubseteq^\#} \{ \mathbf{o} \mid \gamma^{\text{Oct}}(\mathbf{o}) \supseteq \gamma^{\text{Oct}}(\mathbf{m}) \cup \gamma^{\text{Oct}}(\mathbf{n}) \}$$

en particulier:

$$\gamma^{\text{Oct}}((\mathbf{m}^\bullet) \sqcup^\# (\mathbf{n}^\bullet)) = \min_{\sqsubseteq} \{ \gamma^{\text{Oct}}(\mathbf{o}) \mid \gamma^{\text{Oct}}(\mathbf{o}) \supseteq \gamma^{\text{Oct}}(\mathbf{m}) \cup \gamma^{\text{Oct}}(\mathbf{n}) \}.$$

- $(\mathbf{m}^\bullet) \sqcup^\# (\mathbf{n}^\bullet)$  est toujours en forme normale.

# Projections

## Intervalle d'une variable

$$\pi_i(X) \stackrel{\text{def}}{=} \{ x \in \mathbb{I} \mid \exists \vec{x} \in X, \text{ tel que } x_i = x \}$$

est abstrait par:

$$\pi_i^{\text{Oct}}(\mathbf{m}) = \left[ -\frac{\mathbf{m}_{(2i)(2i+1)}^\bullet}{2}, \frac{\mathbf{m}_{(2i+1)(2i)}^\bullet}{2} \right]$$

## Oubli d'une variable (affectation non déterministe)

$$\{ V_f \leftarrow ? \}(X) \stackrel{\text{def}}{=} \{ \vec{x} [x_f \mapsto v] \mid \vec{x} \in X, v \in \mathbb{I} \}$$

est abstrait par:

$$\left[ \{ V_f \leftarrow ? \}^{\text{Oct}}(\mathbf{m}) \right]_{ij} \stackrel{\text{def}}{=} \begin{cases} \mathbf{m}_{ij}^\bullet & \text{si } \lfloor i/2 \rfloor \neq f \text{ et } \lfloor j/2 \rfloor \neq f \\ 0 & \text{si } i = j \text{ et } \lfloor i/2 \rfloor = f \\ +\infty & \text{sinon} \end{cases}$$

- Ces opérateurs sont **exacts**.
- Sans normalisation, ils ne sont plus exacts mais restent sûrs.

# Affectations abstraites

On cherche à abstraire l'effet d'une affectation:  $V_f \leftarrow [a_0, b_0] + \sum_i [a_i, b_i] V_i$ .  
(forme affine avec coefficients intervalles)

$$\{ V_f \leftarrow [a_0, b_0] + \sum_i [a_i, b_i] V_i \} (X) \stackrel{\text{def}}{=} \{ \vec{x} [x_f \mapsto t] \mid \vec{x} \in X, t_i \in [a_i, b_i], t = t_0 + \sum t_i x_i \}$$

**Affectations exactes** seulement pour  $V_f \leftarrow \alpha V_k + [a, b]$  où  $\alpha \in \{-1, 0, 1\}$ .

Cas non inversibles (perte d'information)

- $$\left[ \{ V_{j_0} \leftarrow [a, b] \}^{\text{Oct}}(\mathbf{m}) \right]_{ij} \stackrel{\text{def}}{=} \begin{cases} -2a & \text{si } i = 2j_0, j = 2j_0 + 1 \\ 2b & \text{si } i = 2j_0 + 1, j = 2j_0 \\ \left[ \{ V_{j_0} \leftarrow ? \}^{\text{Oct}}(\mathbf{m}) \right]_{ij} & \text{sinon} \end{cases}$$
- $$\left[ \{ V_{j_0} \leftarrow V_{i_0} + [a, b] \}^{\text{Oct}}(\mathbf{m}) \right]_{ij} \stackrel{\text{def}}{=} \begin{cases} -a & \text{si } i = 2j_0, j = 2i_0 \text{ ou } i = 2i_0 + 1, j = 2j_0 + 1 \\ b & \text{si } i = 2i_0, j = 2j_0 \text{ ou } i = 2j_0 + 1, j = 2i_0 + 1 \\ \left[ \{ V_{j_0} \leftarrow ? \}^{\text{Oct}}(\mathbf{m}) \right]_{ij} & \text{sinon} \end{cases} \quad (j_0 \neq i_0)$$



# Affectations abstraites (suite)

## Cas inversibles

- $\left[ \{ V_{j_0} \leftarrow V_{j_0} + [a, b] \}^{\text{Oct}}(\mathbf{m}) \right]_{ij} \stackrel{\text{def}}{=} \begin{cases} \mathbf{m}_{ij} - a & \text{si } i = 2j_0, j \neq 2j_0, 2j_0 + 1 \text{ ou } j = 2j_0, i \neq 2j_0, 2j_0 + 1 \\ \mathbf{m}_{ij} + b & \text{si } i \neq 2j_0, 2j_0 + 1, j = 2j_0 \text{ ou } j \neq 2j_0, 2j_0 + 1, i = 2j_0 + 1 \\ \mathbf{m}_{ij} - 2a & \text{si } i = 2j_0, j = 2j_0 + 1 \\ \mathbf{m}_{ij} + 2b & \text{si } i = 2j_0 + 1, j = 2j_0 \\ \mathbf{m}_{ij} & \text{sinon} \end{cases}$
- $\left[ \{ V_{j_0} \leftarrow -V_{j_0} \}^{\text{Oct}}(\mathbf{m}) \right]_{ij} \stackrel{\text{def}}{=} \begin{cases} \mathbf{m}_{\bar{i}j} & \text{si } i \in \{2j_0, 2j_0 + 1\} \text{ et } j \notin \{2j_0, 2j_0 + 1\} \\ \mathbf{m}_{i\bar{j}} & \text{si } i \notin \{2j_0, 2j_0 + 1\} \text{ et } j \in \{2j_0, 2j_0 + 1\} \\ \mathbf{m}_{\bar{i}\bar{j}} & \text{si } i \in \{2j_0, 2j_0 + 1\} \text{ et } j \in \{2j_0, 2j_0 + 1\} \\ \mathbf{m}_{ij} & \text{si } i \notin \{2j_0, 2j_0 + 1\} \text{ et } j \notin \{2j_0, 2j_0 + 1\} \end{cases}$

# Affectations abstraites (suite)

Affectations approchées trois compromis coût / précision

- Abstraction par les intervalles

$$\{ V_f \leftarrow [a_0, b_0] + \sum_i [a_i, b_i] V_i \}^{\text{Oct}}(\mathbf{m}) \stackrel{\text{def}}{=} \{ V_f \leftarrow [a, b] \}^{\text{Oct}}(\mathbf{m})$$

où

$$[a, b] \stackrel{\text{def}}{=} [a_0, b_0] + \sum_i [a_i, b_i] \times \pi_i^{\text{Oct}}(\mathbf{m})$$

est calculé par **arithmétique d'intervalles**.

- Abstraction par les polyèdres

Exact, mais coûteux, et implémenté seulement pour  $V_f \leftarrow a_0 + \sum_i a_i V_i$ .

- Abstraction semi-relationnelle

Pour tous les  $i \neq k$  on calcule une borne de  $\pm V_f \pm V_k$  par intervalles.

$$\text{e.g.: } \mathbf{m}'_{(2i)_f} = \max \left( [a_0, b_0] + \left( \sum_{k \neq i} [a_k, b_k] \times \pi_k^{\text{Oct}}(\mathbf{m}) \right) + [a_i - 1, b_i - 1] \times \pi_i^{\text{Oct}}(\mathbf{m}) \right).$$

(coût total linéaire, si  $\mathbf{m}$  est déjà en forme normale)

# Affectations abstraites (suite)

**Exemple** d'affectations approchées:

Argument

$$\left\{ \begin{array}{l} 0 \leq Y \leq 10 \\ 0 \leq Z \leq 10 \\ 0 \leq Y - Z \leq 10 \end{array} \right.$$

$$\Downarrow X \leftarrow Y - Z$$

$$\left\{ \begin{array}{l} -10 \leq X \leq 10 \\ -20 \leq X - Y \leq 10 \\ -10 \leq X + Y \leq 20 \\ -20 \leq X - Z \leq 10 \\ -10 \leq X + Z \leq 20 \end{array} \right.$$

Intervalles

$$\left\{ \begin{array}{l} -5 \leq X \leq 10 \\ -10 \leq X - Y \leq 0 \\ 0 \leq X + Y \leq 20 \\ -10 \leq X - Z \leq 10 \\ 0 \leq X + Z \leq 10 \end{array} \right.$$

Semi-relationnel

$$\left\{ \begin{array}{l} 0 \leq X \leq 10 \\ -10 \leq X - Y \leq 0 \\ 0 \leq X + Y \leq 20 \\ -10 \leq X - Z \leq 10 \\ 0 \leq X + Z \leq 10 \end{array} \right.$$

Meilleure abstraction  
(par les polyèdres)

# Utilisation des coefficients intervalles

---

Application: analyse des calculs en **virgule flottante**.

Chaque opérateur flottant  $\oplus$ ,  $\ominus$ ,  $\otimes$ ,  $\oslash$  induit un arrondi non linéaire.

Exemple:  $Z \leftarrow X \ominus (0.25 \otimes Y)$

$\{ Z \leftarrow X - (0.25 \times Y) \}^{\text{Oct}}(\mathbf{m})$  n'est pas une abstraction sûre!

## Solution

L'arrondi est approximé par une erreur non-déterministe:

- erreur relative d'amplitude  $2^{-23}$  (float simple précision normalisé),
- erreur absolue d'amplitude  $2^{-159}$  (float simple précision dénormalisé).

Exemple:

$X \ominus (0.25 \otimes Y)$  est approximé **sur**  $\mathbb{Q}$  en:

$$\begin{aligned} & [0.99999988079071044922, 1.0000001192092895508] \times X \\ & + [-0.2500000596046483281, -0.2499999403953516719] \times Y \\ & + [-1.1754944208872107242e^{-38}, 1.1754944208872107242e^{-38}]. \end{aligned}$$

# Tests abstrait

On cherche à abstraire l'effet d'une garde:  $[a_0, b_0] + \sum_i [a_i, b_i] V_i \leq 0$  ?.

$$\{ [a_0, b_0] + \sum_i [a_i, b_i] V_i \leq 0 ? \}(X) \stackrel{\text{def}}{=} \{ \vec{x} \in X \mid \exists t_i \in [a_i, b_i] \text{ tels que } v_0 + \sum_i t_i x_i \leq 0 \}.$$

## Tests exacts

Seulement pour  $\alpha V_i + \beta V_j + [a, b] \geq 0$  où  $\alpha, \beta \in \{-1, 0, 1\}$ .

- $\left[ \{ V_{j_0} + [a, b] \leq 0 ? \}^{\text{Oct}}(\mathbf{m}) \right]_{ij} \stackrel{\text{def}}{=} \begin{cases} \min(\mathbf{m}_{ij}, -2a) & \text{si } i = 2j_0 + 1, j = 2j_0 \\ \mathbf{m}_{ij} & \text{sinon} \end{cases}$

- $\left[ \{ -V_{j_0} + [a, b] \leq 0 ? \}^{\text{Oct}}(\mathbf{m}) \right]_{ij} \stackrel{\text{def}}{=} \begin{cases} \min(\mathbf{m}_{ij}, -2a) & \text{si } i = 2j_0, j = 2j_0 + 1 \\ \mathbf{m}_{ij} & \text{sinon} \end{cases}$

# Tests abstraits (suite)

---

- $\left[ \{ \{ V_{j_0} - V_{i_0} + [a, b] \leq 0 ? \}^{\text{Oct}}(\mathbf{m}) \} \right]_{ij} \stackrel{\text{def}}{=} \begin{cases} \min(\mathbf{m}_{ij}, -a) & \text{si } i = 2i_0, j = 2j_0 \text{ ou } i = 2j_0 + 1, j = 2i_0 + 1 \\ \mathbf{m}_{ij} & \text{sinon} \end{cases}$
- $\left[ \{ \{ V_{j_0} + V_{i_0} + [a, b] \leq 0 ? \}^{\text{Oct}}(\mathbf{m}) \} \right]_{ij} \stackrel{\text{def}}{=} \begin{cases} \min(\mathbf{m}_{ij}, -a) & \text{si } i = 2i_0 + 1, j = 2j_0 \text{ ou } i = 2j_0 + 1, j = 2i_0 \\ \mathbf{m}_{ij} & \text{sinon} \end{cases}$
- $\left[ \{ \{ -V_{j_0} - V_{i_0} + [a, b] \leq 0 ? \}^{\text{Oct}}(\mathbf{m}) \} \right]_{ij} \stackrel{\text{def}}{=} \begin{cases} \min(\mathbf{m}_{ij}, -a) & \text{si } i = 2i_0, j = 2j_0 + 1 \text{ ou } i = 2j_0, j = 2i_0 + 1 \\ \mathbf{m}_{ij} & \text{sinon} \end{cases}$

Coût en  $\mathcal{O}(1)$ .

La forme normale n'est jamais nécessaire.

# Tests abstraits (suite)

---

## Tests approchés

- ◆ Abstraction par l'identité.
- ◆ Abstraction par les intervalles.
- ◆ Abstraction par les polyèdres.  
(seulement pour  $a_0 + \sum_i a_i V_i \geq 0$ )
- ◆ Abstraction semi-relationnelle.

Pour chaque  $i \neq j$ ,  $\pm V_i \pm V_j$  est approximé dans les intervalles.

e.g.:  $\mathbf{m}'_{(2i)(2j)} = \min(\mathbf{m}_{(2i)(2j)}, x)$  où

$$x = \max \left\{ \begin{array}{l} -[a_0, b_0] \\ -\sum_{k \neq i, j} [a_k, b_k] \times \pi_k^{\text{Oct}}(\mathbf{m}) \\ -[a_i + 1, b_i + 1] \times \pi_i^{\text{Oct}}(\mathbf{m}) \\ -[a_j - 1, b_j - 1] \times \pi_j^{\text{Oct}}(\mathbf{m}) \end{array} \right\}.$$

(coût quadratique, si  $\mathbf{m}$  est déjà en forme normale)

# Substitutions abstraites

---

On cherche à abstraire l'effet d'une substitution dans l'ensemble des contraintes:

$$V_f \rightarrow [a_0, b_0] + \sum_i [a_i, b_i] V_i.$$

$$\{ V_f \rightarrow [a_0, b_0] + \sum_i [a_i, b_i] V_i \}(X) \stackrel{\text{def}}{=} \{ \vec{x} \mid \exists t_i \in [a_i, b_i] \text{ tels que } \vec{x}[x_f \rightarrow t_0 + \sum t_i x_i] \in X \}$$

## Abstractions

Similaires au cas des affectations:

- ◆ Cas exacts:  $V_f \rightarrow \alpha V_i + [a, b]$  où  $\alpha \in \{-1, 0, 1\}$ .  
Les cas inversibles ( $i = f$ ) se réduisent à des affectations.
- ◆ Cas approchés:
  - par projection ( $V_f \leftarrow ?$ ),
  - par les intervalles,
  - par les polyèdres (seulement pour  $V_f \rightarrow a_0 + \sum_i a_i V_i$ ),
  - par approximation semi-relationnelle (coût cubique...).



# Élargissements

---

## Élargissement classique

Extension **point à point** de l'élargissement sur les intervalles:

On enlève les contraintes non stables:

$$[\mathbf{m} \nabla \mathbf{n}]_{ij} \stackrel{\text{def}}{=} \begin{cases} \mathbf{m}_{ij} & \text{si } \mathbf{m}_{ij} \geq \mathbf{n}_{ij} \\ +\infty & \text{sinon} \end{cases}$$

## Élargissement étagé

Paramétré par un ensemble **fini**  $\mathbb{T} \subseteq \mathbb{I}$  d'étages:

$$[\mathbf{m} \nabla \mathbf{n}]_{ij} \stackrel{\text{def}}{=} \begin{cases} \mathbf{m}_{ij} & \text{si } \mathbf{m}_{ij} \geq \mathbf{n}_{ij} \\ \min \{ x \in \mathbb{T} \cup \{+\infty\} \mid x \geq \mathbf{n}_{ij} \} & \text{sinon} \end{cases}$$

Plus précis, mais peut nécessiter plus d'itérations pour la stabilisation.

# Élargissements et forme normale

Attention à l'interaction entre élargissement et la normalisation:

- $\mathbf{m}_{i+1} \stackrel{\text{def}}{=} \mathbf{m}_i \nabla \mathbf{n}_i$  converge,
- $\mathbf{m}_{i+1} \stackrel{\text{def}}{=} \mathbf{m}_i \nabla (\mathbf{n}_i^\bullet)$  converge,
- $\mathbf{m}_{i+1} \stackrel{\text{def}}{=} (\mathbf{m}_i \nabla \mathbf{n}_i)^\bullet$  **ne converge plus!**

Intuition:  $\nabla$  augmente les coefficients de  $\mathbf{m}_i$ ,  $\bullet$  les diminue.

## Exemple:

```
X=0; Y=rand(-1,1);
while  $\bullet$  (rand(0,1)=0) {
  R=rand(-1,1);
  if (X=Y) Y=X+R
  else X=Y+R
}
```

itération $2j$ en $\bullet$	itération $2j + 1$ en $\bullet$
$X \in [-2j, 2j]$	$X \in [-2j - 2, 2j + 2]$
$Y \in [-2j - 1, 2j + 1]$	$Y \in [-2j - 1, 2j + 1]$
$X - Y \in [-1, 1]$	$X - Y \in [-1, 1]$

# Rétrécissement

---

## Rétrécissement classique

Extension **point à point** du rétrécissement sur les intervalles:

On ne raffine que les contraintes infinies:

$$[\mathbf{m} \Delta \mathbf{n}]_{ij} \stackrel{\text{def}}{=} \begin{cases} \mathbf{n}_{ij} & \text{si } \mathbf{m}_{ij} = +\infty \\ \mathbf{m}_{ij} & \text{sinon} \end{cases}$$

## Interaction avec la forme normale

Pas de problème:

- $\mathbf{m}_{i+1} \stackrel{\text{def}}{=} \mathbf{m}_i \Delta \mathbf{n}_i$  converge,
- $\mathbf{m}_{i+1} \stackrel{\text{def}}{=} \mathbf{m}_i \Delta (\mathbf{n}_i^\bullet)$  converge,
- $\mathbf{m}_{i+1} \stackrel{\text{def}}{=} (\mathbf{m}_i \Delta \mathbf{n}_i)^\bullet$  converge.

# Tableau des opérateurs abstraits

opérateur	coût	précision	argument en forme normale	résultat en forme normale
$\cap$	$\mathcal{O}(n^2)$	<b>exact</b>	non	non
$\cup$	$\mathcal{O}(n^2)$	<b>optimal</b>	oui	oui
$V \leftarrow ?$	$\mathcal{O}(n)$	<b>exact</b>	oui	non <sup>†</sup>
$V \leftarrow \pm V' + [a, b]$	$\mathcal{O}(n)$	<b>exact</b>	oui/non	non <sup>†</sup>
$V \rightarrow \pm V' + [a, b]$	$\mathcal{O}(n)$	<b>exact</b>	oui/non	non <sup>†</sup>
$\pm V' + \pm V''[a, b] \leq 0?$	$\mathcal{O}(1)$	<b>exact</b>	non	non
$V \leftarrow l$	$\mathcal{O}(n)$	moyenne	oui	non <sup>†</sup>
$V \rightarrow l$	$\mathcal{O}(n^3)$	moyenne	oui	non
$l \leq 0?$	$\mathcal{O}(n^2)$	moyenne	oui	non
$\nabla$	$\mathcal{O}(n^2)$	-	non <sup>‡</sup>	non
$\Delta$	$\mathcal{O}(n^2)$	-	oui	non

† La forme normale peut être calculée incrémentalement en  $\mathcal{O}(n^2)$ .

‡ Les itérés ne doivent pas être clos.

# Utilisation de la clôture dans APRON

---

Stratégie utilisée dans APRON:

- Par défaut, **close l'argument seulement si cela améliore la précision.**  
(modifiable par l'utilisateur: `algorithm < 0`)
- À cause de  $\nabla$ , on ne remplace jamais subrepticement une DBM par sa forme normale.  
( $\neq$  polyèdres)
- On garde les formes closes en **cache**.  
Chaque DBM  $m$  garde un pointeur vers  $m^\bullet$  (NULL si non calculée).  
Le cache est détruit quand  $m$  est détruit.
- Si l'opérateur respecte la clôture, le résultat a automatiquement un cache.
- Si l'opérateur est de coût quadratique au moins,  
et que la **clôture incrémentale** s'applique,  
le cache du résultat est calculé. (temps quadratique)

# Domaine numérique sous-jacent

---

Deux choix pour  $\mathbb{I}$ .

## Rationnels multi-précision

- Arithmétique exacte sur  $\mathbb{Q}$  grâce à GMP.
- Optimalité garantie si on abstrait des rationnels.
- Optimalité non garantie si on abstrait des entiers, mais sans conséquence pratique. (cf. polyèdres)

## Flottants machine

- Sûreté garantie par l'arrondi vers  $+\infty$  des opérations de base. (+, min, max, division et division par 2)
- Très rapide!  
(coût indépendant de la taille des coefficients,  $+\infty$  gratuit, etc.)
- Optimalité non garantie, mais précision suffisante en pratique.
- Idéals pour abstraire des calculs flottants, après abstraction sûre des erreurs d'arrondis.

# Implantation

---

- ◆ Module octagons dans APRON: **4771** lignes de C.
- ◆ Test de régression unitaire: 1566 lignes de C
  - tests de sûreté et d'optimalité par comparaison avec le résultat sur les polyèdres,
  - tests sur des entrées aléatoires,
  - a permis de trouver aussi des bogues dans les polyèdres!
- ◆ **Intégration expérimentale** dans Astrée:
  - remplace la 'vielle' implantation octlib,
  - glue: 992 lignes de OCaml,
  - résultats encourageants, mais à améliorer:

	lignes de code	itérations	temps	mémoire	alarmes
octlib	68535	21	24mn	494 Mo	2
APRON	68535	21	24mn	473 Mo	2
octlib	237546	73	6h40	1.5 Go	2
APRON	237546	69	14h50	1.2 Go	2
octlib	420886	80	11h50	2.5 Go	0
APRON	420886	78	29h40	1.8 Go	0

# Travaux futurs

---

- ◆ Profiler et améliorer le coût des octogones (et d'APRON).
- ◆ Grâce à l'interface commune, comparer expérimentalement octogones et polyèdres:
  - intégrer les octogones aux projets polyèdres (e.g., NBac),
  - intégrer les polyèdres à Astrée,
  - contacter les projets hors APRON utilisant NewPolka ou les octogones,
  - intégrer à APRON un analyseur académique.
- ◆ Expérimenter de nouveaux opérateurs:
  - abstractions semi-relationnelles plus précises,
  - opérateurs d'élargissement et d'extrapolation.